



БИООРГАНИЧЕСКАЯ ХИМИЯ

том 3 * № 5 * 1977

УДК 547.963.32.0.7 + 543.422.23

СИНТЕЗ 5'-ТРИФОСФАТОВ ОЛИГОНУКЛЕОТИДОВ

*Будкер В. Г., Заритова В. Ф., Кнорре Д. Г.,
Кобец Н. Д., Рязанкина О. И.*

*Институт органической химии Сибирского отделения
Академии наук СССР, Новосибирск*

На примере получения rppdTpdT и rppUpUpU описан метод превращения 5'-концевой фосфатной группы олигонуклеотидов в трифосфатную группу. Метод основан на реакции трибутиламмонийпирофосфата в DMF с активными производными олигонуклеотидов, получаемыми предварительной обработкой последних дициклогексилкарбодиимидом. В случае рибоолигонуклеотида необходима защита 2'-оксигрупп ацетилированием во избежание превращения фосфодиэфирных групп в циклические триэфирные, образование которых зарегистрировано методом ^{31}P -ЯМР при действии на рибоолигонуклеотиды DCC и хлорангидрида мезитиленкарбоновой кислоты. Показано, что rppUpUpU стимулирует связывание Phe-tRN κ с рибосомами *E. coli*.

В последнее время обнаружена возможность получения соответствующих γ -фосфамидов селективной реакцией трифосфатных производных олигонуклеотидов с аминами [1, 2], основанной на превращении трифосфатной группы в триметафосфатную в присутствии водорастворимого карбодиимида [3, 4] или DCC [5]. Эта реакция открывает возможность получения аффинных аналогов олигонуклеотидов с реакционноспособной группой на 5'-конце, в частности, для модификации мРНК-связывающего центра на рибосоме.

В литературе описан метод получения трифосфатных производных дезоксиолигонуклеотидов, основанный на реакции триалкиламмонийпирофосфатов с морфолидами олигонуклеотидов [1]. Данные работ [5—8] по исследованию взаимодействия (pdTpdT)Ac с DCC методом ^{31}P -импульсной спектроскопии позволяют рассчитывать на получение трифосфатов олигонуклеотидов, минуя стадию синтеза их морфолидов, поскольку образующиеся при активации динуклеотида тризамещенные пирофосфаты реагируют с нуклеофилами лишь по менее замещенному фосфатному остатку.

Целью настоящей работы является исследование возможности получения трифосфатов дезокси- и рибоолигонуклеотидов путем их активации DCC с последующей реакцией образующихся активных производных олигонуклеотидов непосредственно с пирофосфатом.

Превращение концевой фосфатной группы олигонуклеотида в трифосфатную исследовано на простейшей модели pdTpdT — динуклеотида с незащищенной 3'-ОН-группой.

Сокращения: DCC — N,N'-дициклогексилкарбодиимид; (pdTpdT)Ac — 3'-O-ацитилтимидил-(5'—3')-тимидин-5'-фосфат; (rUpUpU) \cdot nAc — ацетилированный по окси-группам рибозы олигонуклеотид; MsCOCl — хлорангидрид мезитиленкарбоновой кислоты; МКХ — ионообменная микроколоночная хроматография. Остальные сокращения приведены в соответствии с рекомендацией IUPAC—IUB.

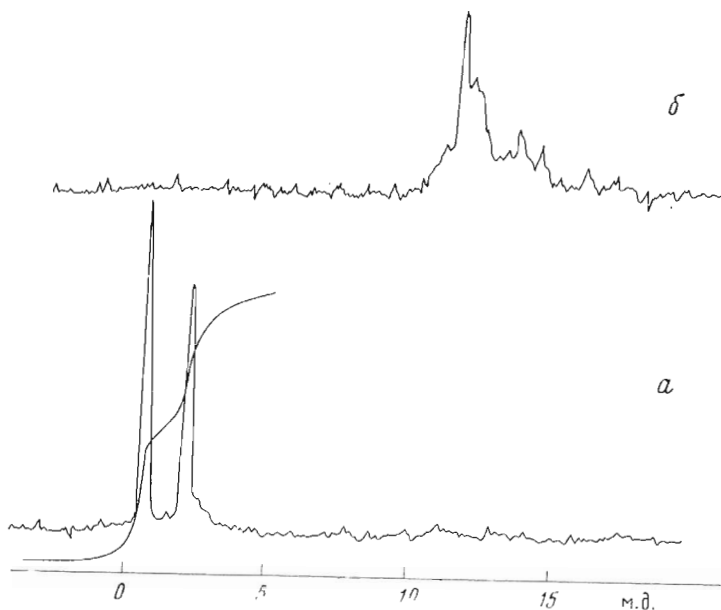
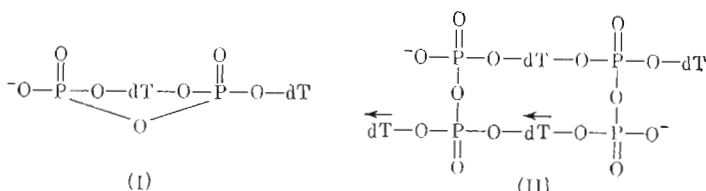


Рис. 1. Спектры ^{31}P -ЯМР в диметилформамиде: *a* — pdTpdT , *b* — $\text{pdTpdT} + \text{DCC}$ (через 45 мин после начала реакции)

За превращениями pdTpdT в присутствии DCC следили с помощью метода ^{31}P -импульсной спектроскопии ЯМР. Как видно из рис. 1, в спектре ^{31}P -ЯМР реакционной смеси отсутствуют сигналы концевого ($\delta = 0,9$ м. д.) и межнуклеотидного ($\delta = 2,6$ м. д.) атомов фосфора и регистрируется сложный сигнал в области 11–17 м.д. Ранее было показано, что сложный сигнал в этой области принадлежит внутри- и межмолекулярным тризамещенным пирофосфатам [6, 7]. По аналогии с этими данными можно заключить, что в случае активации pdTpdT образуются циклические тризамещенные пирофосфаты (I) и (II)



dT' — остаток тимицина с 5'-оксигруппой справа и 3'-оксигруппой слева.

Удобным методом анализа образования соединений (I) и (II) служит их быстрая реакция с аминами — морфолином и этилендиамином. Образующиеся 5'-fosфамиды имеют соответственно на один или два отрицательных заряда меньше, чем исходный динуклеотид, и могут быть легко обнаружены ионообменной МКХ (рис. 2).

После активации динуклеотида к реакционной смеси был добавлен избыток трибутиламмонийпироfosфата. Через некоторое время в реакционной смеси накапливается соединение, которое по положению на профиле МКХ может быть отнесено к pppdTpdT (рис. 3). В отличие от морфолина реакция соединений (I) и (II) с пиросфатом протекает медленно. Через сутки при 20° образуется 50% pppdTpdT . Более длительное выдерживание реакционной смеси не приводит к увеличению выхода продукта. Наряду с основным продуктом в реакционной смеси образуется некоторое количество 5'-дифосфата — по всей видимости, за счет некоторой де-

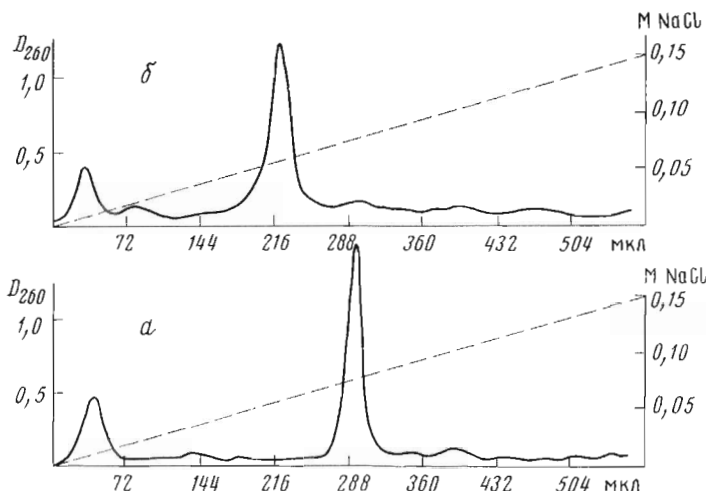


Рис. 2. МКХ при рН 7,5 [16]: а — исходной пиридиниевой соли pdTpdT; б — реакционной смеси, полученной 45-минутной обработкой pdTpdT DCC с последующим добавлением 100-кратного молярного избытка морфолина и выдерживанием реакционной смеси в течение 2 ч при 37°

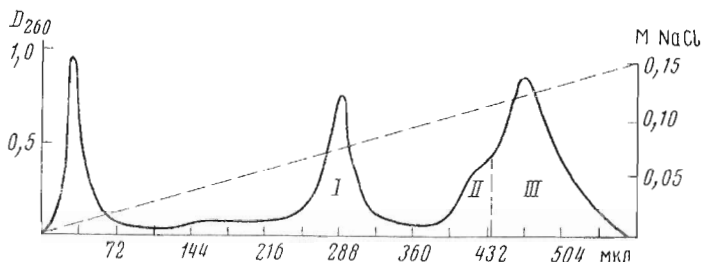


Рис. 3. МКХ при рН 7,5 [16] реакционной смеси, полученной в результате последовательного добавления DCC к pdTpdT и через 45 мин трибутиламмонийпирофосфата и выдерживания реакционной смеси в течение суток при 20° в диметилформамиде: I — исходный pdTpdT, II — ppdTpdT, III — rppdTpdT

градации 5'-трифосфата. Более высокий выход 5'-морфолида динуклеотида (~80%) по сравнению с rppdTpdT скорее всего связан с большей нуклеофильностью морфолина по сравнению с пирофосфатом, что делает его более эффективным конкурентом по отношению к следовым количествам воды, неизбежно присутствующим в используемых растворах.

Продукт реакции выделен ионообменной хроматографией на DEAE-целлюлозе в HCO_3^- -форме. Наличие трифосфатной группы подтверждено данными неполного гидролиза щелочной фосфатазой из *E. coli* (фосфогидролаза моноэфиров ортофосфата КФ 3.1.3.1), в результате которого образуется смесь продуктов последовательного дефосфорилирования rppdTpdT.

Таким образом, на примере синтеза rppdTpdT показана возможность получения трифосфатов дезоксилигнуклеотидов, минуя стадию синтеза их морфолидов.

Мы исследовали возможность превращения концевой фосфатной группы рибоолигонуклеотидов в трифосфатную предложенным методом. При обработке (*pU*)₇ дициклогексилкарбодиимидом в диметилформамиде с последующим добавлением этилендиамина получена реакционная смесь, содержащая, по данным МКХ на DEAE-целлюлозе, несколько соединений с зарядом, меньшим, чем аминоэтиламид (*pU*)₇. Это может указывать либо на

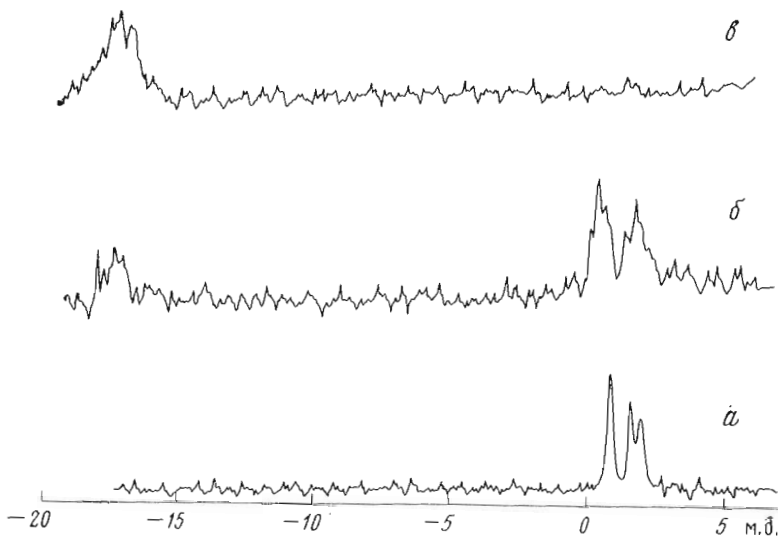


Рис. 4. Спектры ^{31}P -ЯМР в диметилформамиде: *a* — pUpUpU , *b* — реакционной смеси, содержащей pUpUpU и DCC через 45 мин после смещения; *c* — реакционной смеси, содержащей 0,05 ммоль трибутиламмониевой соли ArUp и 1 ммоль Ms COCl в 1,7 мл пиридина через 25 мин после смещения

реакцию амина с фосфодиэфирными группами, либо на разрыв межнуклеотидных связей, т. е. на наличие реакции DCC с межнуклеотидными фосфодиэфирными группами. Чтобы убедиться в существовании такого взаимодействия, мы исследовали спектры ^{31}P -ЯМР реакционной смеси, используя более короткий олигонуклеотид pUpUpU .

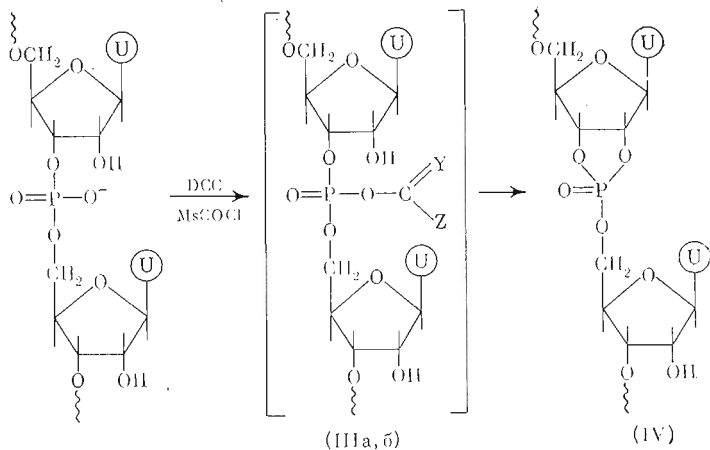
При взаимодействии pUpUpU с DCC в спектрах ^{31}P -ЯМР регистрируется сложный сигнал в области -18 м. д. (рис. 4б), типичной для пятичлененных циклических фосфотриэфирных групп [9]. Поскольку величина δ для триэфиров с различными алкильными заместителями различается незначительно, сигналы в области -18 м. д. можно отнести к сигналам циклических фосфотриэфирных групп.

Такие же сигналы появляются при добавлении хлорангидрида мезитиленкарбоновой кислоты к ArUp (рис. 4в), что указывает на образование циклических ди- и триэфиров. После длительного выдерживания реакционной смеси или добавления воды сигналы в области -18 м. д. исчезают и появляются сигналы в области, соответствующей концевому и межнуклеотидному фосфатам.

Следовательно, фосфодиэфирные группы могут взаимодействовать с DCC и MsCOCl с образованием активных промежуточных производных (скорее всего, (III α) или (III β)), которые атакуются внутримолекулярно соседней 2'-ОН-группой с накоплением циклического фосфотриэфира (IV). Последний при обработке водой или другими нуклеофилами может реагировать либо с раскрытием цикла с образованием смеси $2' \rightarrow 5'$ - и $3' \rightarrow 5'$ -фосфодиэфиров, либо с разрывом межнуклеотидной связи (схема).

Чтобы избежать образования циклических фосфотриэфиров, мы ацетилировали оксигруппы остатка рибозы уксусным ангидридом в 5% диметилформамиде, как описано в работе [10]. От избытка ацетата натрия освобождались гель-фильтрацией на сепадексе G-10. Получен препарат ($\text{pUpUpU} \cdot n\text{Ac}$ с содержанием ацетильных групп 80% от теоретического). Наличие ацетильных групп оценивали с помощью гидроксамовой реакции [10].

Активацию ($\text{pUpUpU} \cdot n\text{Ac}$ с помощью DCC проводили аналогично активации pdTpdT в безводном диметилформамиде, при этом в спектре



а: $Y = N-C_6H_{11}$, $Z = NH-C_6H_{11}$; б: $Y = O$, $Z = (CH_3)_3C_6H_{11}$

^{31}P -ЯМР наблюдали исчезновение сигналов с δ 1,2 и 2,2 м. д. исходного соединения и одновременное появление сигналов в области 11—17 м. д.

При добавлении морфолина к аликовоте реакционной смеси методом МКХ регистрировалось соединение с тремя отрицательными зарядами, что соответствует 5'-морфолиду рибоолигонуклеотида (рис. 5). Таким образом, в этом случае реакция протекает в основном с образованием тризамещенных пироfosфатов типа (I) и (II).

5'-Трифосфатные производные рибоолигонуклеотида получали добавлением к реакционной смеси DCC и $(pUpUpU) \cdot nAc$ избытка трибутиламмонийпироfosфата. Степень протекания реакции определяли методом МКХ.

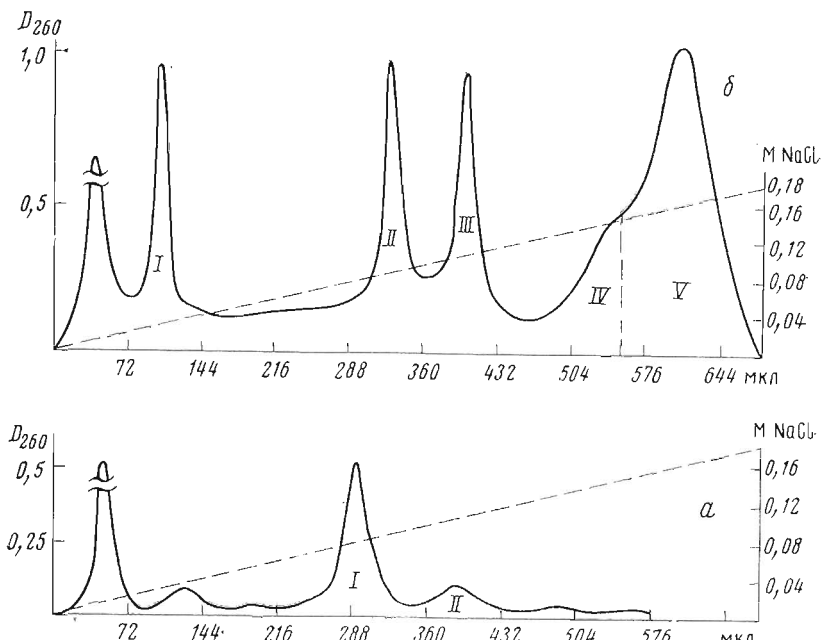


Рис. 5. МКХ при $pH 7,5$ [16] реакционных смесей, полученных 45-минутной обработкой $(pUpUpU) \cdot nAc$ DCC: а — после добавления 100-кратного молярного избытка морфолина (I — морфолид олигонуклеотида, II — исходный $(pUpUpU) \cdot nAc$); б — после добавления трибутиламмонийпироfosфата и выдерживания смеси в течение суток при 20° в диметилформамиде (I, II — не идентифицированы, III — $(pUpUpU) \cdot nAc$, IV — $(ppUpUpU) \cdot nAc$, V — $(pppUpUpU) \cdot nAc$). Дезацетилирование продуктов при обработках и хроматографии специально не исследовалось

Перед выделением продукта ионообменной хроматографией реакционную смесь выдерживали 6 ч при 37° в 2 М Трис-НCl-буфере (рН 8,8) для снятия ацетильных защит [11]. Продукт rppUpUpU, полученный с выходом 40%, охарактеризован анализом продуктов неполного гидролиза щелочной фосфатазой. При МКХ гидролизата обнаружены пики, соответствующие продуктам последовательного дефосфорилирования rppUpUpU.

Данные по стимулирующему действию rppUpUpU на связывание Phe-tРНК с рибосомами *E. coli* (таблица) свидетельствуют о том, что наличие трифосфатной группы не препятствует взаимодействию тринуклеотида с Phe-tРНК и рибосомами, т. е. производные такого типа могут использоваться в качестве аналогов кодонов.

Экспериментальная часть

В работе использовали pdTpdT и DCC, синтезированные в группе наработки НИОХ СО АН СССР; pUpUpU получен гидролизом полиуридиловой кислоты * эндонуклеазой из змеиного яда кобры с последующей хроматографией на DEAE-целлюлозе в системе NH_4HCO_3 — водный диксакал. ApUp получен в ОХЦ НИОХ СО АН СССР. MsCOCl любезно предоставлен Т. С. Ломакиной (НИОХ СО АН СССР). Регистрацию оптической плотности элюата при МКХ осуществляли при помощи разработанного в НИОХ микроспектрофотометра МСФП-3 [12].

Хроматографию на бумаге Whatman-3ММ проводили в системе изомасляная кислота — аммиак — вода (66 : 1 : 33), превративную хроматографию — на DEAE-целлюлозе (DE-52, Whatman).

Для аналитических целей использовали щелочную фосфатазу *E. coli* (предоставлена Г. Т. Бабкиной, НИОХ СО АН СССР).

Спектры ^{31}P -ЯМР записаны на спектрометре HX-90 с фурье-преобразованием на ЭВМ В-NC12 (Bruker-Physik AG, ФРГ) на частоте 36,43 МГц. Химические сдвиги приведены относительно H_3PO_4 как внешнего стандарта. Диаметр ампулы 10 мм, объем реакционной смеси 1,5 мл. Рибосомы выделяли из *E. coli* MRE-600 методом, описанным в работе [13], tРНК из *E. coli* MRE-600 — способом, охарактеризованным ранее [14]. Аминоацилирование tРНК *L*-[^{14}C]фенилаланином (удельная активность 100 мКи/ммоль, ЧССР) проводили по стандартной методике [15]. poly(U) — препарат производства СКТБ БАВ (Новосибирск), ультрафильтры фирмы Chemapol (ЧССР). Счет радиоактивности вели в сцинтилляционном счетчике Mark-I (Nuclear Chicago, США) с использованием сцинтилляционной жидкости: 1 л толуола, 4 г РРО, 0,1 г РОРОР. Эффективность счета — 92%.

Bis(три-н-бутиламмоний)пироfosfat. 1,33 г (5 ммоль) прокаленного $\text{Na}_4\text{P}_2\text{O}_7$ растворяли в 50 мл воды и наносили на колонку со 100 мл дээкса 50×8 в пиридиневой форме. Смолу промывали 400 мл 10% водного пиридина. К элюату добавляли 2,35 мл трибутиламина (10 ммоль). Элюат упаривали до сиропообразной массы и остаток высушивали азеотропной отгонкой с абсолютным пиридином (3×10 мл), а затем с сухим бензолом (3×5 мл). Остаток растворяли в 5 мл абсолютного диметилформамида, перегнанного в вакууме и высущенного над молекулярными ситами типа 4А.

pppdTpdT. 62 мг (87,4 мкмоль) пиридииневой соли pdTpdT растворяли в 1,2 мл сухого диметилформамида, добавляли 0,26 мл 1 М раствора DCC в том же растворителе (260 мкмоль) и оставляли на 45 мин при 20° (рис. 1), затем добавляли 1,1 мл 1 М раствора дитрибутиламмонийпироfosфата в диметилформамиде. Степень протекания реакции определяли с помощью ионообменной МКХ (рис. 3). После 24 ч реакции при 20° смесь разбавляли водой до 150—200 мл и наносили на колонку с DEAE-целлюлозой DE-52 ($0,7 \times 25$ см) в HCO_3^- -форме и хроматографировали в линейном гра-

* Предоставлена С. К. Василенко.

диенте концентрации 0—0,3 М NH_4HCO_3 в 15% водном диоксане, рН 7,5. Хроматографический профиль аналогичен приведенному на рис. 3. Пики I, II, III, по данным БХ и повторной МКХ в условиях Томлинсона — Тенера [16], идентифицированы как pdTpdT, ppdTpdT и rppdTpdT соответственно. Фракции, содержащие rppdTpdT, объединяли и упаривали в вакууме досуха. Выход rppdTpdT составил 50%. При частичном гидролизе продукта щелочной фосфатазой (на 4 ОЕ₂₆₀ продукта в 0,1 мл 0,1 М Трис-НСl, рН 8, добавляли 0,1 мл фермента (125 000 ед/мл) и выдерживали 4 ч при 37°) и последующем анализе реакционной смеси МКХ на DEAE-целлюлозе при рН 7,5 в условиях методики [16] обнаруживали 4 пика, соответствующие rppdTpdT и продуктам его последовательного дефосфорилирования.

Гидролизат проанализирован дополнительно с помощью БХ. При этом обнаружены продукты с R_f 0,52 (dTpdT), 0,31 (pdTpdT), 0,22 (ppdTpdT) и 0,12—0,15 (rppdTpdT). При анализе продуктов неполного фосфомоноэтеразного гидролиза ppdTpdT с помощью БХ обнаружены три соединения с R_f 0,52 (dTpdT), 0,31—0,32 (pdTpdT) и 0,20—0,22 (rppdTpdT).

(rppUpUpU) $\cdot nAc$ получали аналогично rppdTpdT. 20 мг пиридиниевой соли (pUpUpU) $\cdot nAc$ растворяли в 0,3 мл диметилформамида и добавляли 0,06 мл 1 М раствора DCC в диметилформамиде. Смесь выдерживали 45 мин при 20°, добавляли 1 мл сухого диметилформамида и записывали спектр ^{31}P -ЯМР. Основная интенсивность соответствует сигналам в области 10—17 м. д. После записи спектра смесь упаривали в вакууме до конечного объема 0,3 мл, добавляли к ней 0,3 мл 1 М раствора бис(трибутиламмоний)пироfosфата в диметилформамиде и оставляли на сутки при 20°. Степень протекания реакции определяли ионообменной МКХ (см. рис. 5б). Трифосфат выделен ионообменной хроматографией с выходом 40% и охарактеризован анализом продуктов неполного гидролиза щелочной фосфомоноэтеразой, как описано для rppdTpdT. При МКХ гидролизата обнаружены 4 пика, соответствующие rppUpUpU и продуктам последовательного его дефосфорилирования.

Комплекс rppUpUpU с рибосомами и [^{14}C]Phe-tRNK получали в условиях методики Ниренберга и Ледера [17]: 0,2 мл инкубационной смеси содержали 10 ед. A_{260} рибосом, 2 ед. A_{260} [^{14}C]Phe-tRNK, 10 мкг rppUpUpU в буфере следующего состава: 0,1 М Трис-НСl (рН 7,2), 0,05 М NH_4Cl , 0,03 М MgCl_2 . Условия инкубации: 20 мин при 25°. Тройной комплекс наносили на ультрафильтры марки HUFS, отмывали от несвязавшейся [^{14}C]Phe-tRNK тем же буфером (3×3 мл) и считали радиоактивность высущенных фильтров в толуольном сцинтилляторе. Результаты представлены в таблице.

Авторы приносят благодарность А. В. Лебедеву за помощь в выполнении эксперимента.

ЛИТЕРАТУРА

- Минченко Г. Ф., Самуков В. В., Шубина Т. Н. (1976) Биоорган. химия, 2, 179—188.
- Грачев М. А., Кнорре Д. Г., Курбатов В. А., Нетесов С. В. (1976) Изв. Сиб. отд. АН СССР. Сер. хим. н., вып. 1, 117—123.
- Бабкина Г. Т., Зарытова В. Ф., Кнорре Д. Г. (1975) Биоорган. химия, 1, 611—615.
- Бабкина Г. Т., Грачев М. А., Зайчиков Е. Ф., Кнорре Д. Г., Ковригина В. С. (1975) Изв. Сиб. отд. АН СССР. Сер. хим. н., вып. 3, 128—132.
- Зарытова В. Ф., Кнорре Д. Г., Курбатов В. А., Лебедев А. В., Самуков В. В., Шишгин Г. В. (1975) Биоорган. химия, 1, 793—799.
- Knorre D. G., Lebedev A. V., Zarytova V. F. (1976) Nucl. Acids Res., 3, 1401—1418.
- Бадашкеева А. Г., Зарытова В. Ф., Кнорре Д. Г., Лебедев А. В., Шубина Т. Н. (1975) Докл. АН СССР, 222, 97—100.

8. Бадашкеева А. Г., Зарытова В. Ф., Урманов И. Х., Шубина Т. Н. (1976) Изв. Сиб. отд. АН СССР. Сер. хим. н., вып. 1, 124—130.
9. Blackburn G. M., Cohen J. S., Todd A. (1964) Tetrahedron Lett., 2873—2879.
10. Кнорре Д. Г., Малышева А. Н., Пустошилова Н. М., Севастьянов А. В., Шамовский Г. Г. (1966) Биохимия, 31, 4181—4186.
11. Прессман Л. С., Шамовский Г. Г. (1971) Молекулярн. биология, 5, 375—383.
12. Власов В. В., Грачев М. А., Комарова Н. И., Кузьмин С. В., Мензорова Н. И. (1972) Молекулярн. биология, 6, 809—816.
13. Nirenberg M. W., Matthaei H. (1961) Proc. Nat. Acad. Sci. USA, 47, 1588—1602.
14. Сандахчиев Л. С., Старостина В. К., Стефанович Л. Е., Чучаев В. М. (1967) Молекулярн. биология, 1, 463—466.
15. Кнорре Д. Г., Сиротюк В. И., Стефанович Л. Е. (1967) Молекулярн. биология, 1, 837—841.
16. Tomlinson R. V., Tener G. M. (1963) Biochemistry, 2, 697—702.
17. Nirenberg M. W., Leder P. (1964) Science, 145, 1399—1407.

Поступила в редакцию
3.VIII.1976

THE SYNTHESIS OF OLIGONUCLEOTIDE 5'-TRIPHOSPHATES

BUDKER V. G., ZARYTOVA V. F., KNORRE D. G., KOBETS N. D.,
RYAZANKINA O. I.

*Institute of Organic Chemistry, Siberian Division
of the Academy of Sciences of the USSR, Novosibirsk*

A method is proposed for the synthesis of ribo- and deoxyribooligonucleotide-5'-triphosphates. The method, which was exemplified by synthesizing, pppdTpdT and pppUpUpU involves activation of the 5'-terminal phosphomonoester group by the reaction of oligonucleotide with N,N'-dicyclohexylcarbodiimide (DCC) in dimethylformamide followed by treatment of the reaction mixture with inorganic pyrophosphate. In the case of ribonucleotides, 2'-hydroxy groups are to be protected to avoid converting of the phosphodiester groups to cyclic triester groups. The formation of cyclic phosphotriesters was registered by the NMR-³¹P spectroscopy on the interaction of ribooligonucleotides with DCC and mesitylenecarboxylic acid chloride. It was shown that pppUpUpU stimulates Phe-tRNA binding to ribosomes of *E. coli*.